

Paciente

Juana Perez

Identificação do paciente

2b1d3c4 ... 26135a7

Nome do estudo

-

Data do estudo

28/09/2020

Idade

24

Sexo

M

Nome do estudo anterior

-

Data estudo anterior

13/06/2019

O seguinte estudo foi analisado usando um sistema de inteligência artificial. Os seguintes achados foram observados para revisão pelo especialista:

DETECÇÃO DE LESÕES

É detectado 19 lesões hiperintensas na sequência FLAIR ao nível da substância branca (volume 11.49 cm³). É detectado 9 lesões estáveis/decrescentes e 10 lesões novas/crescentes.

VOLUMETRIA

O valor global da FPC está dentro da faixa normal ajustada para a idade.

O volume das seguintes áreas subcorticiais está abaixo do percentil 5% para a faixa etária: Tálamo izquierdo

HIPOCAMPOS

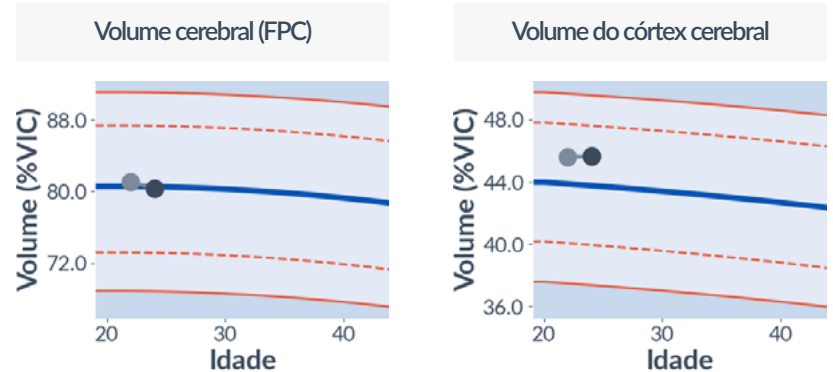
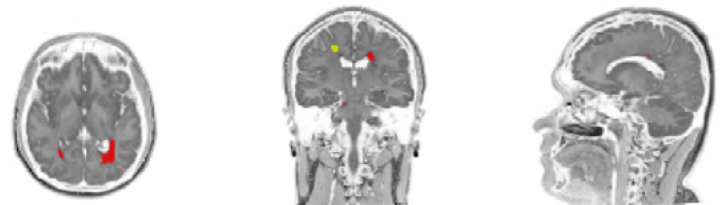
O volume de ambos os hipocampos está dentro da faixa normal ajustada para a idade.

SISTEMA VENTRICULAR

O volume do sistema ventricular está acima do percentil 95% para a faixa etária.

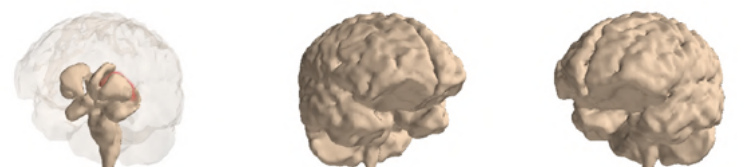
TRONCO ENCEFÁLICO

O volume do tronco cerebral está dentro da faixa normal ajustada para a idade. O volume do cerebelo está dentro da faixa normal ajustada para a idade.

**Segmentação de tecidos****Lesões hiperintensas no FLAIR**

■ Lesões estáveis/decrescentes

■ Lesões novas/crescentes

Mapa de calor de volume por área

■ Área a analisar

■ Área possivelmente atrofica

Relatório Desmielinizante

Paciente Juana Perez	Identificação do paciente 2b1d3c4 ... 26135a7	Nome do estudo -	Data do estudo 28/09/2020
Idade 24	Sexo M	Nome do estudo anterior -	Data estudo anterior 13/06/2019

ANÁLISE VOLUMÉTRICA DE LESÕES

Quantificação de lesões	Estudo anterior	Estudo atual
Hiperintense em FLAIR (cm3)	2.19	11.49 ↑
Hiperintense em FLAIR (%VIC)	0.15 %	0.80 %
Número total de lesões (≥ 3mm de diâmetro)	13	19
<i>Lesões estáveis/decrescentes</i>	-	9
<i>Lesões novas/crescentes</i>	-	10

VOLUME POR ESTRUTURAS

Estrutura	Volume em cm3	Volume em %VIC	Faixa normal ajustada para a idade de acordo com %VIC	Percentil normativo	Varição de percentil	Taxa de variação anualizada
VOLUMES GLOBAIS						
Parênquima Cerebral	1,158	80.32%	(68.81 - 91.05)	48.3	-6.50 pp	-0.69%
Líqu. Cefalorraquidiano	279	19.36%	(14.32 - 58.04)	50.5	4.00 pp	0.39%
Substância Cinzenta	658	45.64%	(37.37 - 49.56)	78.7	1.10 pp	0.04%
Substância Branca	500	34.68%	(29.91 - 43.84)	22.7	-8.70 pp	-1.63%
Subst. branca hem. esq.	222	15.40%	(13.46 - 20.04)	18.0	-6.60 pp	-1.88%
Subst. branca hem. dir.	229	15.89%	(13.55 - 19.95)	25.1	-10.10 pp	-1.51%
ESTR. SUBCORTICAIS						
Amígdala esq.	1.81	0.13%	(0.09 - 0.15)	69.7	3.50 pp	0.98%
Amígdala dir.	1.95	0.14%	(0.09 - 0.16)	76.6	-5.90 pp	-1.75%
Caudado esq.	3.93	0.27%	(0.15 - 0.30)	95.3	-1.30 pp	-2.98%
Caudado dir.	4.39	0.30%	(0.15 - 0.31)	98.1	-0.20 pp	-0.67%
Globo pálido esq.	2.29	0.16%	(0.10 - 0.17)	89.7	-6.10 pp	-2.65%
Globo pálido dir.	2.20	0.15%	(0.10 - 0.17)	90.0	-7.60 pp	-5.64%
Putâmen esq.	4.48	0.31%	(0.21 - 0.42)	43.4	1.20 pp	0.55%
Putâmen dir.	4.73	0.33%	(0.22 - 0.41)	70.4	-7.00 pp	-1.65%
Tálamo esq.	5.40	0.37%	(0.42 - 0.65)	< 1	0.00 pp	-3.41%
Tálamo dir.	6.62	0.46%	(0.40 - 0.61)	14.3	-1.90 pp	-0.68%
SISTEMA VENTRICULAR						
Quarto ventrículo	1.48	0.10%	(0.03 - 0.20)	67.3	15.00 pp	11.77%
Ventrículos supratentoriais	22.2	1.54%	(0.12 - 2.56)	95.1	-0.10 pp	2.89%
ESTR. INFRATENTORIAIS						
Subst branca cerebelar esq.	14.1	0.98%	(0.76 - 1.49)	43.7	8.40 pp	1.92%

Paciente

Juana Perez

Identificação do paciente

2b1d3c4 ... 26135a7

Nome do estudo

-

Data do estudo

28/09/2020

Idade

24

Sexo

M

Nome do estudo anterior

-

Data estudo anterior

13/06/2019

VOLUME POR ESTRUTURAS

Estrutura	Volume em cm3	Volume em %VIC	Faixa normal ajustada para a idade de acordo com %VIC	Percentil normativo	Varição de percentil	Taxa de variação anualizada
Subst. branca cerebelar dir.	13.9	0.97%	(0.76 - 1.50)	32.9	-1.40 pp	-0.56%
Subst cinzenta cerebelar esq.	59.9	4.15%	(3.02 - 4.54)	82.8	4.10 pp	0.97%
Subst. cinzenta cerebelar dir.	60.2	4.18%	(2.97 - 4.58)	83.2	5.30 pp	1.09%
Tronco encefálico	20.8	1.44%	(1.11 - 1.73)	63.2	-16.50 pp	-3.26%
ÁREAS CORTICAIS						
Córtex frontal	160	11.07%	(9.80 - 13.39)	43.2	7.90 pp	0.29%
Córtex frontal esq.	80.3	5.57%	(4.90 - 6.59)	45.7	6.10 pp	0.09%
Córtex frontal dir.	79.3	5.50%	(4.86 - 6.72)	40.8	9.00 pp	0.50%
Córtex insular	11.9	0.82%	(0.64 - 0.98)	50.9	3.10 pp	-0.03%
Córtex insular esq.	5.93	0.41%	(0.31 - 0.49)	54.4	6.60 pp	0.60%
Córtex insular dir.	5.95	0.41%	(0.32 - 0.50)	47.6	-0.60 pp	-0.65%
Córtex occipital	50.8	3.52%	(2.53 - 4.03)	79.7	-1.70 pp	-0.08%
Córtex occipital esq.	24.8	1.72%	(1.26 - 2.01)	73.9	-1.20 pp	0.33%
Córtex occipital dir.	26.0	1.80%	(1.20 - 2.00)	86.3	-3.40 pp	-0.46%
Córtex parietal	139	9.66%	(7.76 - 11.14)	68.3	-6.40 pp	-0.83%
Córtex parietal esq.	66.7	4.63%	(3.85 - 5.55)	48.7	-7.50 pp	-1.10%
Córtex parietal dir.	72.4	5.03%	(3.90 - 5.62)	78.8	-1.70 pp	-0.58%
Córtex temporal	119	8.28%	(6.62 - 9.02)	78.4	3.90 pp	0.52%
Córtex temporal esq.	59.5	4.13%	(3.37 - 4.61)	72.3	4.00 pp	0.09%
Córtex temporal dir.	59.9	4.15%	(3.14 - 4.43)	83.1	4.90 pp	0.95%
Hipocampo esq.	4.15	0.29%	(0.22 - 0.33)	73.1	1.00 pp	0.62%
Hipocampo dir.	4.34	0.30%	(0.22 - 0.34)	76.9	-2.50 pp	-0.37%

Esclarecimentos para o Médico

Abreviaturas: VIC (Volume Intracraniano)

As faixas normais correspondem a valores contidos entre o percentil 1% e 99%. As áreas abaixo do limite inferior (superior no caso do sistema ventricular) são destacadas em **negrito**.

↓ A diminuição anual do volume desta área é maior do que o esperado para a faixa etária (exceto estruturas subcorticais)

↑ O aumento anual do volume desta área é maior do que o esperado para a faixa etária (exceto estruturas subcorticais)